

# Seminar 'Level Set Methoden'

## "Geometric Flows and Variational Methods"

Michael Möller

Institut für Numerische und Angewandte Mathematik  
Fachbereich Mathematik und Informatik  
WWU Münster

SS 2007

# 1. Einführung in die Problemstellung

## 1.1 Motivatioin: Entwicklung von Mikrostrukturen

Verhalten von Mikrostrukturen, wie zum Beispiel:

- beliebige, flüssige Masse –  $\rightarrow$  Oberflächenminimierung
  - Welche Bewegung führt sie aus?
  - Welche Formen kann sie annehmen?

# 1. Einführung in die Problemstellung

## 1.1 Motivatioin: Entwicklung von Mikrostrukturen

Verhalten von Mikrostrukturen, wie zum Beispiel:

- beliebige, flüssige Masse –  $\rightarrow$  Oberflächenminimierung
  - Welche Bewegung führt sie aus?
  - Welche Formen kann sie annehmen?
- Eiskristall

# 1. Einführung in die Problemstellung

## 1.1 Motivatioin: Entwicklung von Mikrostrukturen

Verhalten von Mikrostrukturen, wie zum Beispiel:

- beliebige, flüssige Masse – > Oberflächenminimierung
  - Welche Bewegung führt sie aus?
  - Welche Formen kann sie annehmen?
- Eiskristall
- Erstarren von Legierungen, z.B. Metall – > Movie

# 1. Einführung in die Problemstellung

## 1.2 Lösungsansätze

Viele Lösungsansätze arbeiten mit starken Vereinfachungen:

- Isotropie
- Regularität
- Linearität
- Differenzierbarkeit

# 1. Einführung in die Problemstellung

## 1.2 Lösungsansätze

Viele Lösungsansätze arbeiten mit starken Vereinfachungen:

- Isotropie
  - Regularität
  - Linearität
  - Differenzierbarkeit
- > Häufig ungerechtfertigt
- > falsche Beschreibung

# 1. Einführung in die Problemstellung

## 1.2 Lösungsansätze

Gesucht: Systematischere Beschreibung

Idee: 'Gradient flow'

Ansatz: Energieminimierung (Thermodynamik)

- Gradient der Energiefunktion
- Zeitliche Entwicklung, die dem Gradienten der Energiefunktion entspricht:

$$\frac{d}{dt}c(\vec{x}, t) = -\nabla F(c) \quad (1)$$

## 2. Gradienten und Skalarprodukte

### 2.1 Skalarprodukte für Vektoren

Standardskalarprodukt im  $R^n$ :  $\langle x, y \rangle = \sum x_i y_i$

Variationen möglich, z.B.  $\langle x, y \rangle_{\text{anders}} = \sum a_i x_i y_i$  mit  $a_i \in R^+$   
beliebig

Aus Analysis II bekannt: Richtungsableitung

$$\left[ \frac{d}{dt} F(\vec{a} + t\vec{v}) \right]_{t=0} = \langle \nabla F(\vec{a}), \vec{v} \rangle$$



## 2. Gradienten und Skalarprodukte

### 2.1 Skalarprodukte für Vektoren

Standardskalarprodukt im  $R^n$ :  $\langle x, y \rangle = \sum x_i y_i$

Variationen möglich, z.B  $\langle x, y \rangle_{\text{anders}} = \sum a_i x_i y_i$  mit  $a_i \in R^+$   
beliebig

Aus Analysis II bekannt: Richtungsableitung

$$\left[ \frac{d}{dt} F(\vec{a} + t\vec{v}) \right]_{t=0} = \langle \nabla F(\vec{a}), \vec{v} \rangle$$

Gleichung für Richtungsableitung mit einem beliebigen Skalarprodukten induziert einen anderen Gradienten:

$$\nabla_{\langle \cdot, \cdot \rangle_b} = A^{-1} \nabla_{\langle \cdot, \cdot \rangle}$$

## 2. Gradienten und Skalarprodukte

### 2.1 Skalarprodukte für Vektoren

Standardskalarprodukt im  $R^n$ :  $\langle x, y \rangle = \sum x_i y_i$

Variationen möglich, z.B  $\langle x, y \rangle_{\text{anders}} = \sum a_i x_i y_i$  mit  $a_i \in R^+$   
beliebig

Aus Analysis II bekannt: Richtungsableitung

$$\left[ \frac{d}{dt} F(\vec{a} + t\vec{v}) \right]_{t=0} = \langle \nabla F(\vec{a}), \vec{v} \rangle$$

Gleichung für Richtungsableitung mit einem beliebigen Skalarprodukten induziert einen anderen Gradienten:

$$\nabla_{\langle \cdot, \cdot \rangle_b} = A^{-1} \nabla_{\langle \cdot, \cdot \rangle}$$

Für obige Problemstellung interessant: Gleichung in Funktionenräumen

## 2. Gradienten und Skalarprodukte

### 2.2 Innere Produkte für Funktionen

Analog zu Vektoren: Innere Produkte, z.B.  $L_2$

$$\langle f, g \rangle_{L_2} = \int_V f \cdot g \, dV$$

Skalarprodukte induzieren Normen:

$$\|f\| = \sqrt{\langle f, f \rangle}$$

## 2. Gradienten und Skalarprodukte

### 2.2 Innere Produkte für Funktionen

Analog zu Vektoren: Innere Produkte, z.B.  $L_2$

$$\langle f, g \rangle_{L_2} = \int_V f \cdot g \, dV$$

Skalarprodukte induzieren Normen:

$$\|f\| = \sqrt{\langle f, f \rangle}$$

Im  $R^n$ : Anschauliche Vorstellung von der Norm zum Standard-skalarprodukt: Länge des Vektors

Was ist dies für eine Funktion?

Wann ist eine Funktion 'nah an 0'?

– > Wichtig für unser Verständnis vom Gradienten!

## 2. Gradienten und Skalarprodukte

### 2.2 Innere Produkte für Funktionen

Beispielfunktion: Hügel und Senke

# 2. Gradienten und Skalarprodukte

## 2.2 Innere Produkte für Funktionen

Beispielfunktion: Hügel und Senke

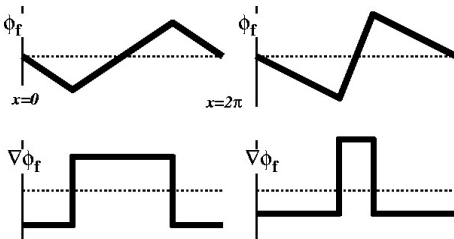


Abbildung: Stammfunktionen von  $f$

# 2. Gradienten und Skalarprodukte

## 2.2 Innere Produkte für Funktionen

Beispielfunktion: Hügel und Senke

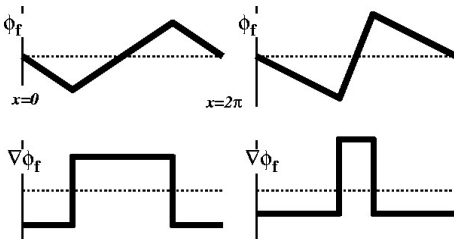


Abbildung: Stammfunktionen von  $f$

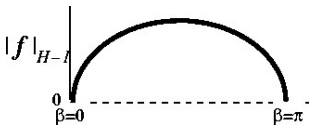


Abbildung:  $H^{-1}$  Norm

## 2. Gradienten und Skalarprodukte

### 2.2 Innere Produkte für Funktionen

– > Beurteilung abhängig vom physikalischen Zusammenhang!

$L_2$  Norm unabhängig vom Abstand zweier Hügel

$H^{-1}$  Norm ist abhängig von diesem Abstand; – > Nützlich für Prozesse in denen etwas hin und her 'fließen' muss

$$\langle f, g \rangle_{H^{-1}} = \int_V \nabla \phi_f \cdot \nabla \phi_g \, dV$$

$$\nabla^2 \phi_f = f(\vec{x})$$



## 2. Gradienten und Skalarprodukte

### 2.2 Innere Produkte für Funktionen

Andere Darstellung des  $H^{-1}$  Produktes mittels des Satzes von Gauss:

$$\langle f, g \rangle_{H^{-1}} = - \int_V \phi_f \cdot g \, dV = - \int_V (\nabla^2)^{-1} f \cdot g \, dV$$

– > Nützlich zum Finden des 'gradient flow'

## 3. Prinzip des 'gradient flows' am Beispiel der Diffusion

### 3.1 Physikalische Ausgangssituation

Energie des Systems abhängig von der Konzentration:  $F(c)$

Freie Energiedichte  $f = f(c(\vec{x}), \nabla c(\vec{x}), \vec{x})$

$$\rightarrow F(c) = \int_V f \, dx = \int f(c(\vec{x}), \nabla c(\vec{x}), \vec{x}) \, dx$$

Analog zu Vektoren:

$$\left[ \frac{d}{dt} F(c + tv) \right]_{t=0} = \langle \nabla F(c), v \rangle$$

### 3. Prinzip des 'gradient flows' am Beispiel der Diffusion

#### 3.2 Gewichtung von inneren Produkten

Um Physik eines Vorgangs besser beschreiben zu können:

Einführung von gewichteten inneren Produkten

$$\langle f, g \rangle_{L_2} = \int_V \frac{f \cdot g}{M} dV$$

$$\langle f, g \rangle_{H^{-1}} = - \int_V (\nabla M \nabla)^{-1} f \cdot g dV$$

Z.B. bei der Diffusion: Berücksichtigung verschiedener Mobilitäten

# 3. Prinzip des 'gradient flows' am Beispiel der Diffusion

## 3.3 Berechnung des Gradienten

Diffusion mit Energiefunktion  $F(c) = \frac{1}{2} \int_V c^2 dV$  und gewichtetem  $H^{-1}$  Produkt:

## 3. Prinzip des 'gradient flows' am Beispiel der Diffusion

### 3.3 Berechnung des Gradienten

Diffusion mit Energiefunktion  $F(c) = \frac{1}{2} \int_V c^2 dV$  und gewichtetem  $H^{-1}$  Produkt:

$$\nabla F(c) = -M \nabla^2 c$$

### 3. Prinzip des 'gradient flows' am Beispiel der Diffusion

#### 3.4 Bestimmung des 'gradient flow'

Gesucht: Konzentration  $c(t)$  mit

$$\frac{d}{dt}c(t) = -\nabla F(c)$$

### 3. Prinzip des 'gradient flows' am Beispiel der Diffusion

#### 3.4 Bestimmung des 'gradient flow'

Gesucht: Konzentration  $c(t)$  mit

$$\frac{d}{dt}c(t) = -\nabla F(c)$$

Da

$$\nabla F(c) = -M\nabla^2 c$$

erfüllt ein solches  $c$  die Gleichung

$$\frac{d}{dt}c(t) = M\nabla^2 c$$

– > Diffusionsgleichung (2. Fick'sches Gesetz) Benötigt:

Numerisches Verfahren zum Lösen der Gleichung

$$\frac{d}{dt}c(t) = -\nabla F(c)$$

# 3. Prinzip des 'gradient flows' am Beispiel der Diffusion

## 3.4 Bestimmung des 'gradient flow'

Fixiere Startkonzentration  $c(0)$  und Zeitschritt  $\Delta t = 2^{-j}$



### 3. Prinzip des 'gradient flows' am Beispiel der Diffusion

#### 3.4 Bestimmung des 'gradient flow'

Fixiere Startkonzentration  $c(0)$  und Zeitschritt  $\Delta t = 2^{-j}$

Konstruiere Folge  $c_j(0) = c(0)$ ,  $c_j(\Delta t)$ ,  $c_j(2\Delta t)$ , ... so, dass für alle  $k = 0, 1, 2, \dots$  die (Konzentrations-)Felder  $q = c_j((k+1)\Delta t)$  aus den vorherigen Feldern  $c = c_j(k\Delta t)$  errechnet werden durch Minimierung von

$$F(q) - F(c) + \frac{1}{(2\Delta t)}(q - c) \bullet (q - c)$$

### 3. Prinzip des 'gradient flows' am Beispiel der Diffusion

#### 3.4 Bestimmung des 'gradient flow'

Dann gilt:  $\frac{q-c}{\Delta t} = -\nabla F(q)$

Dann Interpolation der  $c_j(t)$  und  $j- > \infty$

$$c(t) = \lim_{j- > \infty} c_j(t)$$

## 4. Anwendungen des 'gradient flows'

### 4.1 Beispiele für die Herleitung physikalischer Gleichungen

Gesehen:

Diffusionsgleichung mit dem  $H^{-1}$  Produkt

Im  $L^2$  Produkt mit

- $F = \frac{1}{2} \int_V y^2 - \dot{y} = -My$
- $F = \frac{1}{2} \int_V (\nabla y)^2 - \dot{y} = M\nabla^2 y$   
(Diffusions-/Wärmeleitungsgleichung)

## 4. Anwendungen des 'gradient flows'

### 4.2 Zusammengesetzte freie Energiedichten

Freie Energiedichten der Form  $f(y(\vec{x})) = f_{hom}(y) + \epsilon^2 \Gamma^2(\nabla y)$

$f_{hom}$ : Energiedichte des homogenen Systems

$\epsilon^2 \Gamma^2(\nabla y)$ : Berücksichtigung der Energie aufgrund von Gradienten in  $y$

- Im  $H^{-1}$  Produkt: Cahn-Hillard Gleichung  
 $\dot{y} = -\nabla M \nabla (f'_{hom}(y) - \nabla \cdot \Gamma \Gamma')$
- Im  $L^2$  Produkt:  $\dot{y} = -M (f'_{hom}(y) - \nabla \cdot \Gamma \Gamma')$

## 4. Anwendungen des 'gradient flows'

### 4.3 Bewegung geometrischer Strukturen

- $C_0$  glatte Kurve in der Ebene
- Betrachte Vektorfelder  $v \vec{n}_{C_0}$  senkrecht zu  $C_0$
- $C_t(v)$  Kurve die man aus  $C_0$  mit Geschwindigkeitsfeld  $v$  erhält
- Energie: Länge der Kurve

## 4. Anwendungen des 'gradient flows'

### 4.3.1 Motion by curvature

Im  $L^2$  Produkt: Minimierung von  $LENGTH(C_{\Delta t}(v)) + \frac{1}{2\Delta t} \int_{C_0} v^2$ .  
Verfahren wie oben beschrieben liefert

## 4. Anwendungen des 'gradient flows'

### 4.3.1 Motion by curvature

Im  $L^2$  Produkt: Minimierung von  $LENGTH(C_{\Delta t}(v)) + \frac{1}{2\Delta t} \int_{C_0} v^2$ .  
Verfahren wie oben beschrieben liefert

- $\rightarrow$  Bewegung  $v = \kappa$  bzw.  $v = M\kappa$ ,  $\kappa$ : Krümmung der Kurve
- $\rightarrow$  motion by curvature (Kapitel 4/Jans Vortrag)
- $\rightarrow$  Oberflächenbewegung bei denen sich die 'bulk energy' nicht ändert

<http://math.berkeley.edu/~sethian/2006/Applications/curvecollapse.html>

## 4. Anwendungen des 'gradient flows'

### 4.3.2 surface diffusion

Energiefunktion: Länge der Kurve

Skalarprodukt:  $H^{-1}$

- – > Bewegung  $v = -\Delta\kappa$
- – > Oberflächendiffusion
- – > Oberflächenbewegung bei denen sich die 'bulk energy' nicht ändert
- – > Eingeschlossene Fläche bleibt konstant (im Gegensatz zur Kollabierenden 'motion by curvature')

[www.math.umd.edu/~rhn/SurfDiff/Movies/](http://www.math.umd.edu/~rhn/SurfDiff/Movies/)



## 4. Anwendungen des 'gradient flows'

### 4.3.3 motion by weighted mean curvature

Bislang: Oberflächenenergiedichte für alle Teile der Kurve gleich, Oberflächenenergie war als proportional zur Kurvenlänge angenommen

Treten Unregelmäßigkeiten auf: Gewichtung der Zunahme der Oberfläche mit der Oberflächenenergiedichte.

Anschließende Minimierung liefert 'motion by weighted mean curvature'  $v = M\kappa_\gamma$

$\kappa_\gamma$ : gewichtete, mittlere Krümmung

## 4. Anwendungen des 'gradient flows'

### 4.3.4 Wulff-Formen

Definition Wulff Form:  $W = \{x \in R^3 : x \cdot u \leq \phi(u) \text{ für jeden Einheitsvektor } u \in R^3\}$

Haupteigenschaft:

$\phi(\delta W) \leq \phi(\delta K)$  für jeden Körper  $K$  mit dem gleichen Volumen wie  $W$

Elliptisch:  $W$  glatt und konvex

Kristallin:  $W$  ist ein Polyeder

## 4. Anwendungen des 'gradient flows'

### 4.3.5 Beispiel Seifenblasen

Problem: Einteilung eines Gebietes in Regionen  $K^1, K^2, K^3, \dots$   
deren Volumen  $V_1, V_2, V_3, \dots$  vorgegeben sind

## 4. Anwendungen des 'gradient flows'

### 4.3.5 Beispiel Seifenblasen

Problem: Einteilung eines Gebietes in Regionen  $K^1, K^2, K^3, \dots$   
deren Volumen  $V_1, V_2, V_3, \dots$  vorgegeben sind  
– > Minimierung von

$$\sum_{0 \leq i < j \leq N} \phi^{i,j}(\delta K^i \cap \delta K^j)$$

## 4. Anwendungen des 'gradient flows'

### 4.3.5 Beispiel Seifenblasen

Problem: Einteilung eines Gebietes in Regionen  $K^1, K^2, K^3, \dots$   
deren Volumen  $V_1, V_2, V_3, \dots$  vorgegeben sind  
– > Minimierung von

$$\sum_{0 \leq i < j \leq N} \phi^{i,j}(\delta K^i \cap \delta K^j)$$

Für Seifenblasen:  $\phi^{i,j}(v) = |v|$ , also zu minimieren:

$$\frac{1}{2} \sum AREA(\delta K^i)$$

## 4. Anwendungen des 'gradient flows'

### 4.3.5 Beispiel Seifenblasen

Problem: Einteilung eines Gebietes in Regionen  $K^1, K^2, K^3, \dots$   
deren Volumen  $V_1, V_2, V_3, \dots$  vorgegeben sind  
– > Minimierung von

$$\sum_{0 \leq i < j \leq N} \phi^{i,j}(\delta K^i \cap \delta K^j)$$

Für Seifenblasen:  $\phi^{i,j}(v) = |v|$ , also zu minimieren:

$$\frac{1}{2} \sum AREA(\delta K^i)$$

– > motion by curvature (mit Randbedingungen)

Konsequenz aus der Oberflächenminimierung:

Dreifachverbindungen treffen sich immer im  $120^\circ$  Winkel.

## 4. Anwendungen des 'gradient flows'

### 4.4 Berücksichtigung der 'bulk energy'

Energiefunktion  $F$  gegeben durch:

$$F = \sum_{a,b} \int_{\vec{x} \in S_{ab}} \gamma_{ab}(\vec{n}_{ab}(\vec{x})) dA + \sum_a \int_a F_a dV$$

Im  $L^2$  Produkt folgt daraus die Bewegungsgleichung

$$v = M(\kappa_\gamma + \Delta F)$$

## 4. Anwendungen des 'gradient flows'

### 4.5 Eckige Wulff-Formen

Bei Seifenblasen: Wulff-Form ist ein Kreis

- > Keine Richtung ist bevorzugt
- > Festhalten einer Grenzfläche legt Position der anderen beiden Grenzflächen fest

Bei anderen Wulff-Formen: Mehrere Positionen möglich



# 4. Anwendungen des 'gradient flows'

## 4.3.2 Eckige Wulff-Formen

Für Achteck

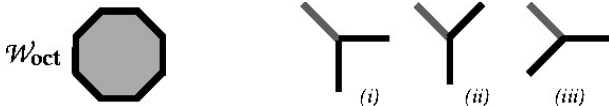


Abbildung: Wulff-Form: Achteck

Für Sechseck:

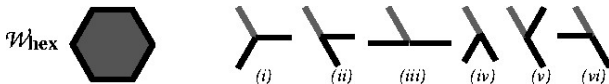


Abbildung: Wulff-Form: Sechseck

## 4. Anwendungen des 'gradient flows'

### 4.6 Bewegung eines Trippelpunktes

Auch bei eckigen Wulff-Formen: Vorhersage der Bewegung von Trippelpunkten möglich. Dazu:

Energieänderung beim Verschieben des Verbindungspunktes von  $(x_n, y_n)$  auf  $(x_{n+1}, y_{n+1})$  im Zeitintervall  $\Delta t$

- > Wichtig: Berücksichtigung der Energieänderungen aller Grenzflächen
- > Übliches Verfahren

## 4. Anwendungen des 'gradient flows'

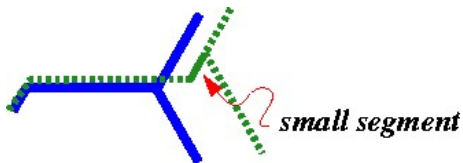
### 4.6 Bewegung eines Trippelpunktes

Auch bei eckigen Wulff-Formen: Vorhersage der Bewegung von Trippelpunkten möglich. Dazu:

Energieänderung beim Verschieben des Verbindungspunktes von  $(x_n, y_n)$  auf  $(x_{n+1}, y_{n+1})$  im Zeitintervall  $\Delta t$

- > Wichtig: Berücksichtigung der Energieänderungen aller Grenzflächen
- > Übliches Verfahren

Weitere Möglichkeit: Einführen kleiner Segmente



## 4. Anwendungen des 'gradient flows'

### 4.7 Innere Produkte als Volumenintegrale

Bei der Minimierung/den Skalarprodukten: Integral über  
Oberflächen von Kurven.

– > Probleme bei Singularitäten

## 4. Anwendungen des 'gradient flows'

### 4.7 Innere Produkte als Volumenintegrale

Bei der Minimierung/den Skalarprodukten: Integral über Oberflächen von Kurven.

– > Probleme bei Singularitäten

Idee: Ersetze die Beschreibung der Kurve durch eine Beschreibung des eingeschlossenen Volumens

– > Oberflächenintegral wird zum Volumenintegral

– > Fortsetzbarkeit über Singularitäten hinaus

Wie weit sind zwei gegebene Volumen von einander entfernt?

## 4. Anwendungen des 'gradient flows'

### 4.7 Innere Produkte als Volumenintegrale

Bei der Minimierung/den Skalarprodukten: Integral über Oberflächen von Kurven.

– > Probleme bei Singularitäten

Idee: Ersetze die Beschreibung der Kurve durch eine Beschreibung des eingeschlossenen Volumens

– > Oberflächenintegral wird zum Volumenintegral

– > Fortsetzbarkeit über Singularitäten hinaus

Wie weit sind zwei gegebene Volumen von einander entfernt?

Symmetrische Differenz:  $K \Delta L = (L - K) \cup (K - L)$

$$\frac{1}{\Delta t} \int_{K_0 \Delta K} \text{dist}(x, C_0) dx \approx \frac{1}{2\Delta t} \int_{C_0} v^2$$